

03

Эволюция пылевого облака в поле свободномолекулярного потока в невесомости (численные сценарии)

© Д.В. Садин, К.В. Алексеев

Военно-космическая академия им. А.Ф. Можайского,
197198 Санкт-Петербург, Россия
e-mail: sadin@yandex.ru

(Поступило в Редакцию 2 марта 2015 г. В окончательной редакции 23 июня 2015 г.)

Представлены результаты анализа численных сценариев движения пылевого облака при его взаимодействии со свободномолекулярным потоком газа. Наблюдаются два типа эволюции пылевого образования: регулярный, при котором характерные точки облака притягиваются к аттракторам, или развитие неустойчивости в ограниченной области.

Введение

Исследование течений мелкодисперсных частиц в разреженной среде представляет практический интерес в связи с развитием новых технологий в вакуумной и космической технике. Вопросам управления пылевым облаком в невесомости — перемещение, удержание, сжатие — посвящены работы [1,2]. В [3,4] рассмотрены вопросы эволюции одиночных и ансамбля изолированных частиц при их взаимодействии со свободномолекулярным потоком газа.

В настоящей работе в рамках взаимопроникающих континуумов [5] изучается эволюция пылевого облака в поле свободномолекулярного потока в невесомости. Методом исследования является вычислительный эксперимент. Для расчетов применяется разностная схема, в которой временная дискретизация основана на высокоустойчивой полунейвной аппроксимации [6,7], а для разностных потоков использованы TVD-схемы [8,9].

Постановка задачи

Рассматривается плоская задача о движении в невесомости пылевого облака I (рис. 1), которое в начальный момент времени $t = 0$ находится в канале с продольным и поперечным размерами: $L = x_1 - x_0$ и $H = y_1 - y_0$ соответственно. Облако состоит из сферических частиц плотностью ρ_p^0 , радиусом r_p и с начальной объемной долей α_{p0} . Движение происходит с начальной скоростью \mathbf{v}_{p0} в дальнем поле свободномолекулярного потока газа 2, истекающего из неограниченного в направлении z щелевого отверстия 0 с поперечным размером $\Delta x = 2b \ll y_0$.

Предполагается, что в окрестности частицы пылевого облака реализуется свободномолекулярный режим взаимодействия частицы с потоком газа из щели $\text{Kn}_g = l_g/r_p \gg 1$ (где l_g — средняя длина свободного пробега молекул).

Основные уравнения

Осредненная система уравнений движения пылевого облака имеет вид:

$$\begin{aligned} \frac{\partial \rho_p}{\partial t} + \nabla \cdot (\rho_p \mathbf{v}_p) &= D \Delta \rho_p, \\ \frac{\partial \rho_p \mathbf{v}_p}{\partial t} + \nabla \cdot (\rho_p \mathbf{v}_p \mathbf{v}_p) &= -\nabla p_p + \nabla \tau_p + n_p \mathbf{f}_p, \\ n_p \mathbf{f}_p &= -\frac{3}{8} C_D \frac{\alpha_p}{r_p} \rho_g^0 |\mathbf{v}_g - \mathbf{v}_p| (\mathbf{v}_g - \mathbf{v}_p), \end{aligned} \quad (1)$$

где $\rho_p = \rho_p^0 \alpha_p$ — приведенная плотность частиц с объемной долей α_p ; \mathbf{v}_p — вектор макроскопической скорости частиц; \mathbf{v}_g, ρ_g^0 — осредненные величины вектора скорости и плотности молекулярного потока газа; D, C_D — коэффициенты броуновской диффузии и сопротивления частиц пылевого облака; p_p, τ_p — давление и сдвиговые напряжения в дисперсной фазе за счет хаотического движения; \mathbf{f}_p — вектор осредненной силы, действующей со стороны газа на частицу; n_p — количество частиц в единице объема пылевого облака.

Рассматривая равновесное состояние газа в камере откуда происходит свободномолекулярное истечение газа через щелевое отверстие 0 (рис. 1), распределение

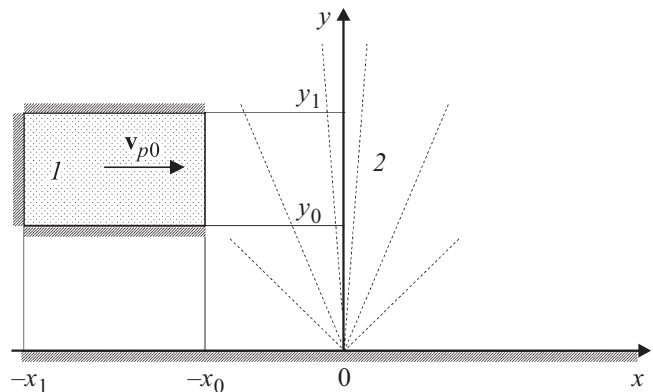


Рис. 1. Схема задачи.

молекул по скоростям описывается максвелловской функцией:

$$f_1 = \frac{n_1}{(2\pi RT_1)^{3/2}} \exp\left(-\frac{\xi_x^2 + \xi_y^2 + \xi_z^2}{2RT_1}\right), \quad (2)$$

где ξ_x, ξ_y, ξ_z — составляющие скоростей молекул газа; R — газовая постоянная; n_1, T_1 — числовая плотность молекул и температура газа в камере.

Макроскопические параметры свободномолекулярного потока газа получаются осреднением по всем возможным скоростям молекул

$$\xi_y \frac{x-b}{y} \leq \xi_x \leq \xi_y \frac{x+b}{y}, \quad 0 < \xi_y < \infty, \quad -\infty < \xi_z < +\infty. \quad (3)$$

Интегрируя функцию распределения (2) в пространстве скоростей (3), имеем

$$\bar{\rho}_g^0 = \frac{1}{2\sqrt{\pi}} \int_0^\infty [\operatorname{erf}(c_y \gamma_+) - \operatorname{erf}(c_y \gamma_-)] \exp(-c_y^2) dc_y,$$

$$\overline{\rho_g^0 u_g} = \frac{2}{\sqrt{\pi}} \int_0^\infty \int_{c_y \gamma_-}^{c_y \gamma_+} c_x \exp(-c_x^2) \exp(-c_y^2) dc_x dc_y,$$

$$\overline{\rho_g^0 v_g} = \int_0^\infty [\operatorname{erf}(c_y \gamma_+) - \operatorname{erf}(c_y \gamma_-)] c_y \exp(-c_y^2) dc_y,$$

$$\bar{j} = \overline{\rho_g^0 j} / 4\overline{\rho_g^0},$$

$$\overline{\rho_g^0 u_g^2} = \frac{4}{\pi} \int_0^\infty \int_{c_y \gamma_-}^{c_y \gamma_+} c_x^2 \exp(-c_x^2) \exp(-c_y^2) dc_x dc_y,$$

$$\overline{\rho_g^0 v_g^2} = \frac{2}{\sqrt{\pi}} \int_0^\infty [\operatorname{erf}(c_y \gamma_+) - \operatorname{erf}(c_y \gamma_-)] c_y^2 \exp(-c_y^2) dc_y. \quad (4)$$

Здесь $\gamma_+ = (\bar{x} + 1)/\bar{y}$, $\gamma_- = (\bar{x} - 1)/\bar{y}$, $c_i = \xi_i/\sqrt{2RT_1}$, $i = x, y, j = u_g, v_g$, $\operatorname{erf}(\beta) = 2/\sqrt{\pi} \int_0^\beta \exp(-\lambda^2) d\lambda$, $\bar{\rho}_g^0$ — безразмерная плотность газа, \bar{u}_g, \bar{v}_g — безразмерные проекции скорости газа \mathbf{v}_g на оси декартовой системы координат (рис. 1).

Для уравнений (4) принята относительная система единиц измерения, в которой безразмерные величины имеют следующий вид:

$$\bar{i} = \frac{i}{b}, \quad \overline{\rho_g^0} = \frac{\rho_g^0}{\rho_{g1}^0}, \quad \overline{\rho_g^0 j} = \frac{\rho_g^0 j}{\rho_{g1}^0 \sqrt{RT_1/2\pi}},$$

$$\bar{j} = \frac{j}{\sqrt{8RT_1/\pi}}, \quad \overline{\rho_g^0 j^2} = \frac{\rho_g^0 j^2}{\rho_{g1}^0 RT_1/2},$$

где ρ_{g1}^0 — плотность газа в камере.

В дальнейшем поле свободномолекулярного потока при $\bar{y} \gg 1$ решение (4) зависит от \bar{x}/\bar{y} и имеет автомодельный характер. Предельные величины осредненных газодинамических параметров в плоскости симметрии бесконечного щелевого отверстия при $\bar{x} = 0$ (рис. 1) в отличие от случая истечения из отверстия ограниченной площади [3] имеют вид

$$\overline{\rho_g^0 y}, \overline{\rho_g^0 v_{gy}}, (4/\pi)\bar{v}_g, (16/\pi)\overline{\rho_g^0 \bar{v}_g^2 y}, (\pi/4)\overline{\rho_g^0 v_{gy}^2 y} \rightarrow 1. \quad (5)$$

Коэффициенты сопротивления при зеркальном и диффузном отражениях молекул определяются выражениями соответственно [3]

$$C_D^{(0)} = \frac{\pi \overline{\rho_g^0 v_g^2}}{8 \overline{\rho_g^0 \bar{v}_g^2}}, \quad C_D^{(1)} = \frac{\pi \overline{\rho_g^0 v_g^2}}{8 \overline{\rho_g^0 \bar{v}_g^2}} + \frac{\pi \overline{\rho_g^0 v_g}}{12 \overline{\rho_g^0 \bar{v}_g^2}} \sqrt{\frac{T_w}{T_1}}, \quad (6)$$

где T_w — температура поверхности частицы пылевого облака.

Для рассматриваемой задачи подстановка (5) в (6) дает

$$C_D^{(0)} \rightarrow \frac{8}{\pi}, \quad C_D^{(1)} \rightarrow \frac{8}{\pi} + \frac{4}{3} \sqrt{\frac{T_w}{T_1}}. \quad (7)$$

Оценка эффектов хаотического движения дисперсных частиц

Оценим входящие в уравнения (1) эффекты броуновской диффузии и столкновительного характера движения частиц пылевого облака.

Найдем отношение характерных для данной задачи величин: среднего квадрата смещения броуновской частицы $2Dt_*$ [10] к квадрату величины конвективного переноса $(v_{p0} t_*)^2$, получим $2D/(v_{p0} H)$. Здесь H, v_{p0} и $t_* = H/v_{p0}$ — характерные линейный, скоростной и временной масштабы задачи соответственно. Коэффициент диффузии будем определять по формуле Каннингема–Милликена

$$D = k_B T / \gamma_k,$$

$$\gamma_k = 6\pi\eta r_p [1 + A_k \operatorname{Kn}_g + Q_k \operatorname{Kn}_g \exp(-B_k \operatorname{Kn}_g)],$$

где k_B — постоянная Больцмана; T, η — температура и вязкость газа; $A_k = 0.864, Q_k = 0.29, B_k = 1.25$ — постоянные, найденные в экспериментах Милликена [11].

Оценим влияние эффектов столкновений частиц на эволюцию пылевого облака по порядку входящих величин. Интенсивность передачи импульса (давления) в дисперсной фазе за счет хаотического поступательного движения можно принять $p_p \sim \rho_p^0 \alpha_p w_p^2 / 2$ [5], где w_p — среднеквадратичная величина скорости хаотического движения частиц. Ввиду того что временной масштаб задачи t_* много больше времени релаксации броуновской частицы пылевого облака массой m_p , то $t_* \gg m_p / \gamma_k$, имеем $w_p^2 \sim kT / m_p < kT_1 / m_p$.

Поскольку $\nabla p_p \sim \rho_p^0 (w_p^2 \nabla \alpha_p + \alpha_p \nabla w_p^2) / 2$, тогда, полагая, что $|\nabla \alpha_p| \sim \alpha_p / l_p$ и $|\nabla w_p^2| \sim w_p^2 / l_p$, получим

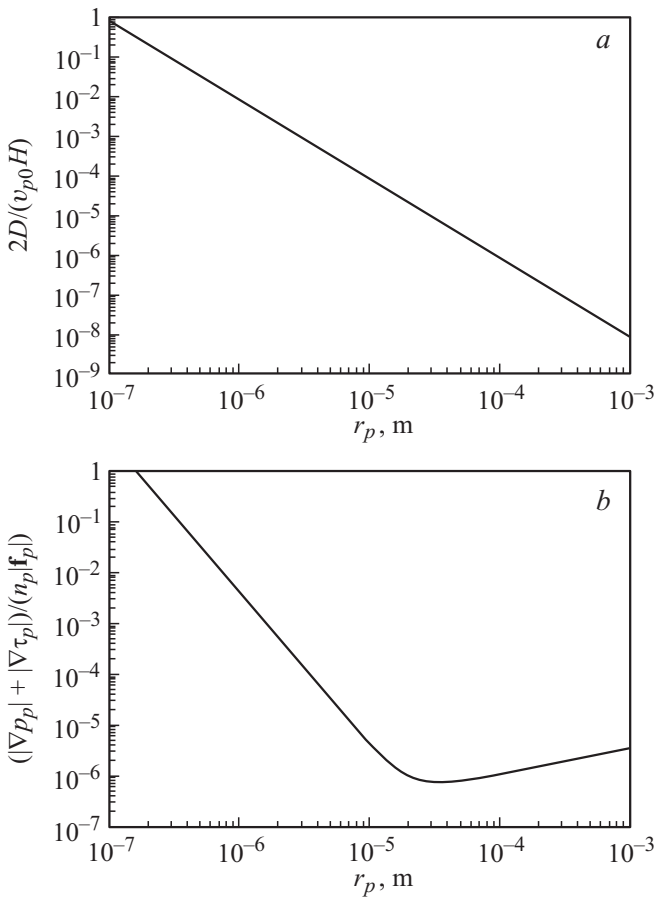


Рис. 2. Относительные оценки: *a* — броуновской диффузии, *b* — столкновительного характера движения частиц пылевого облака в зависимости от радиуса дисперсных частиц.

$|\nabla p_p| \sim \rho_p^0 w_p^2 \alpha_p / l_p$, где $l_p = 1/(4n\pi r_p^2)$ — средняя длина свободного пробега частиц облака [12]. Характерные значения сдвиговых напряжений $\tau_p \sim \rho_p^0 r_p w_p v_{p0} / H$ [5], откуда $|\nabla \tau_p| \sim \rho_p^0 r_p w_p v_{p0} / H^2$.

Найдем отношение характерных значений градиента напряжений, возникающих в пылевом облаке при столкновительном движении частиц, к силе, действующей в единице объема на частицы со стороны свободномолекулярного потока газа с учетом $v_g \gg v_p$:

$$\frac{|\nabla p_p| + |\nabla \tau_p|}{n_p |f_p|} \sim \frac{\rho_p^0 w_p^2 \alpha_p / l_p + \rho_p^0 r_p w_p v_{p0} / H^2}{(3/8) C_D \alpha_p \rho_g^0 v_g^2 / r_p}. \quad (8)$$

Умножим числитель и знаменатель в (8) на $8\bar{y} \rho_{g1}^0 RT_1 / \pi$. Учитывая, что в соответствии с (5) $(16/\pi) \bar{\rho}_g^0 \bar{v}_g^2 \bar{y} \rightarrow 1$, а также $n_p = 3/4 \alpha_p / \pi r_p^3$, получим $l_p = r_p / 3\alpha_p$. Подставляя в (8), имеем

$$\frac{|\nabla p_p| + |\nabla \tau_p|}{n_p |f_p|} \sim 16 \frac{\rho_p^0 w_p^2 \alpha_p + \rho_p^0 v_p v_{p0} r_p^2 / (3\alpha_p / H^2)}{C_D \rho_{g1}^0 RT_1} \bar{y}.$$

На рис. 2 показаны относительные оценки броуновской диффузии $2D/(v_{p0}H)$ (рис. 2, *a*) и столкновительного характера движения частиц пылевого облака

$(|\nabla p_p| + |\nabla \tau_p|)/(n_p |f_p|)$ (рис. 2, *b*) в зависимости от радиуса дисперсных частиц r_p на расстоянии $\bar{y} = 10^4$ от источника свободномолекулярного потока газа.

В настоящей работе рассматриваются умеренно крупные частицы пылевого облака $r_p \sim 10 \mu\text{m}$ в дальнем следе свободномолекулярного потока, истекающего из щелевого отверстия $\bar{y} \gg 1$. Как видно из рис. 2, эффекты броуновской диффузии и столкновительного характера движения частиц относительно характерных величин конвективного переноса и межфазных сил взаимодействия молекулярного потока газа и частиц малы. Поэтому в дальнейшем будем пренебрегать членами уравнений (1), связанными с указанными эффектами. Эволюция частиц с размерами $r_p < 100 \text{ nm}$ в свободномолекулярном потоке требует отдельного рассмотрения, в том числе с использованием подходов, основанных на потенциале взаимодействия молекул с дисперсными частицами [13].

Начальные и граничные условия

Область определения задачи (рис. 1) $\{-\infty < x < +\infty\} \times \{0 \leq y < +\infty\}$. Начальные условия в области $\{-x_1 \leq x \leq -x_0\} \times \{y_0 \leq y \leq y_1\}$ — дисперсная среда с равномерным распределением объемной концентрации α_{p0} и начальной скоростью v_{p0} ; в остальной части — свободномолекулярный поток газа, вытекающий из бесконечного в направлении z щелевого отверстия, с заданными параметрами в камере n_1, T_1 . На стенках определены краевые условия непротекания.

Численная модель

Разностная схема

Разностная схема для решения задачи эволюции пылевого облака в поле свободномолекулярного потока строится путем расщепления по физическим процессам на два этапа. На первом этапе, где рассчитываемые величины помечены временным индексом $k + 1/2$, отбрасываются конвективные члены уравнений (1), а силовое взаимодействие молекулярного потока и дисперсных частиц рассчитывается по полуявной схеме $O(\tau)$ [7]. На втором этапе (временной индекс $k + 1$) конвективные члены аппроксимируются TVD-схемами второго порядка точности $O(h^2)$ [9]

$$\mathbf{v}_p^{k+1/2} = (\mathbf{v}_p^k + B \mathbf{v}_g \tau) / (1 + B \tau), \quad B = \frac{3 C_D}{8} \frac{\rho_g^0}{r_p} \frac{\rho_p^0}{\rho_p^0} |\mathbf{v}_g - \mathbf{v}_p|, \quad (9)$$

$$\rho_p^{k+1} = \rho_p^k - \tau \langle \nabla \cdot (\rho_p \mathbf{v}_p)^{k+1/2} \rangle_{\text{TVD}},$$

$$\rho_p^{k+1} \mathbf{v}_p^{k+1} = \rho_p^k \mathbf{v}_p^{k+1/2} - \tau \langle \nabla \cdot (\rho_p \mathbf{v}_p \mathbf{v}_p)^{k+1/2} \rangle_{\text{TVD}}.$$

Здесь τ, h — шаг по времени и по пространству, $\langle \cdot \rangle_{\text{TVD}}$ — символическое обозначение TVD-схемы для потоков массы и импульса частиц.

Постановка разностной задачи

Поставленная задача решалась в декартовой системе координат на сетке $\Omega = X \times Y = 800 \times 800$ ячеек с размером $h = 0.001$ m по обеим координатам. На стенках задавались разностные граничные условия непротекания второго порядка точности $O(h^2)$. На внешних границах — „мягкие“ граничные условия.

В начальный момент времени в области $\{-100 \leq x/h \leq 500\} \times \{0 \leq y/h \leq 800\}$ заданы осредненные параметры свободномолекулярного потока газа (4) и коэффициент сопротивления при диффузном отражении молекул и T_1/T_w (7), $C_D^{(1)} = 8/\pi + 4/3$. Параметры газа в камере, откуда он истекает через щелевое отверстие 0 (рис. 1) с поперечным размером $2b = 20 \mu\text{m}$, следующие: $T_1 = 293$ K, $\rho_{g1}^0 = 1.19 \cdot 10^{-4}$ kg/m³, газовая постоянная — $R = 287$ J/(kg K), динамическая вязкость — $\eta = 1.8 \cdot 10^{-5}$ Pa s, числа Кнудсена в камере $\text{Kn}_1 = l_1/2b = 32.9$ (где l_1 — средняя длина свободного пробега молекул в камере) и в окрестности частицы пылевого облака $\text{Kn}_g \gg \text{Kn}_1$.

Канал $\{-300 \leq x/h \leq -100\} \times \{100 \leq y/h \leq 200\}$ при $t = 0$ равномерно заполнен частицами алюминия с плотностью $\rho_p^0 = 2750$ kg/m³, объемной долей $\alpha_{p0} = 0.01$ и радиусом частиц $r_p = 10 \mu\text{m}$, имеющие начальную параллельную оси x скорость $v_{p0} = 0.05$ m/s.

Таким образом, взаимодействие пылевого облака происходит за срезом канала (рис. 1, $x > -x_0$). Для сокращения объема вычислений расчет выполнялся в ограниченной области при $y/h > 75$. Шаг по времени переменный выбирался из условия Куранта–Фридрихса–Леви

$$\tau^k = \text{CFL} \frac{h}{\max_{\forall \Omega} (|u_p^k|, |v_p^k|)},$$

где CFL — число Куранта, u_p^k, v_p^k — проекции скорости частиц v_p на оси декартовой системы координат в момент времени t^k .

Поставленная задача решалась с числом Куранта $\text{CFL} = 0.1$ и использованием в разностной схеме (9) ограничителей $\psi(r)$ соответственно Upwind, MINMOD и MUSCL:

$$\psi(r) = \left\{ 0, \min(r, 1), \max \left[\min \left(2, 2r, \frac{1+r}{2} \right), 0 \right] \right\},$$

где r — параметр, равный отношению прилежащих градиентов плотности и импульса дисперсной среды [9].

Указанные ограничители наделяют схему (9) различными диссипативными свойствами. На рис. 3 представлены распределения относительной плотности частиц пылевого облака $\bar{\rho}_p = \rho_p^0 \alpha_p / \rho_p^0 \alpha_{p0}$ через 100 шагов по времени в сечении $y = (y_1 - y_0)/2$. Здесь кривые соответствуют расчетам по схеме с разными порядками аппроксимации: 1 — Upwind $O(h)$, 2 — MINMOD $O(h^2)$, 3 — MUSCL $O(h^2)$.

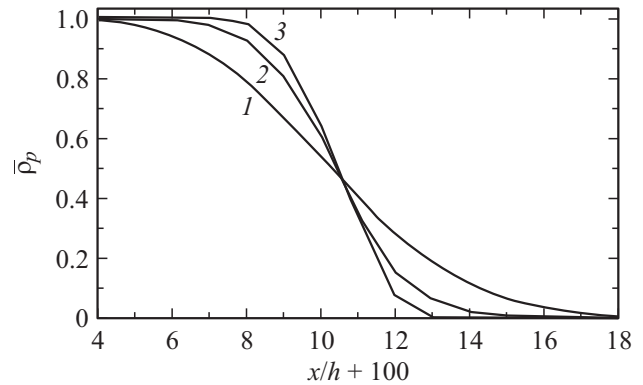


Рис. 3. Распределения относительных плотностей частиц для различных ограничителей разностных схем.

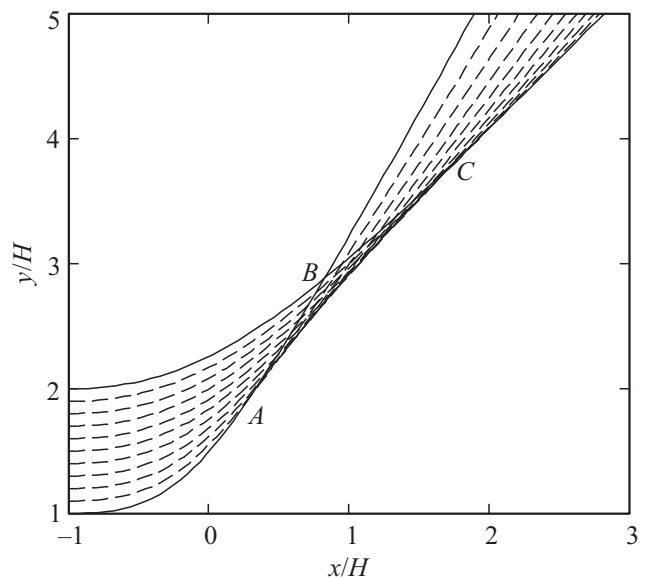


Рис. 4. Семейство траекторий изолированных частиц.

Результаты расчетов и их обсуждение

Движение разреженного ансамбля изолированных частиц при взаимодействии со свободномолекулярным потоком газа иллюстрируется на рис. 4. Расчеты проведены по методике [4] для исходных данных, указанных выше. Движение частиц в канале при $x/h < -100$ — упорядоченное параллельное оси X . За срезом канала траектории частиц отклоняются в направлении оси Y , тем больше, чем ближе они расположены к источнику потока газа. В области ABC траектории частиц пересекаются. А выше линии BC упорядоченное распределение частиц меняется на противоположное по отношению к начальному.

Эволюция пылевого облака частиц качественно и количественно отличается от движения ансамбля изолированных частиц. На рис. 5 показаны численные сценарии эволюции пылевого облака, рассчитанные с использованием разностной схемы (9) с различными диссипативными свойствами: a — Upwind, b — MINMOD,

c — MUSCL. На рисунке отмечены характерные угловые точки пылевого облака при $t = 0$ s, занумерованные в порядке следования по часовой стрелке 1–2–3–4, а также изменение их положения в последующие моменты времени. Штриховыми линиями показаны траектории движения изолированных частиц, расположенных вначале на нижнем I, верхнем крае II облака и в его срединной части III ($y = (y_1 - y_0)/2$).

Движение пылевого облака в начальные моменты времени сопровождается его поперечным сжатием по отношению к направлению движения частиц (рис. 5, $t_1 = 3.5$ s). А после прохождения области ABC (рис. 4) наблюдается перехлест характерных точек вначале головной 1–2–4–3 (рис. 5, $t_2 = 7.5$ s), а затем хвостовой частей облака 2–1–4–3 (рис. 5, $t_3 = 11.5$ s). Краевые точки 1 и 3 притягиваются к соответствующим траекториям I и III (аттракторам). А средняя часть пылевого облака 2–4 движется вдоль линии II. Сценарии, численно реализуемые при использовании схем Urwind и MINMOD, описывают устойчивые, регулярные решения эволюции пылевого облака (верхняя и средняя части рис. 5).

Движение дисперсного образования в рамках численной модели MUSCL, обладающей меньшей схемной вязкостью, сопровождается развитием неустойчивости и стохатизацией течения (нижняя часть рис. 5). Отметим, что схема MUSCL обладает TVD-свойством (уменьшения общей вариации решения), кроме того, расчеты выполнялись со значительным запасом счетной устойчивости. При течении дисперсной среды в обла-

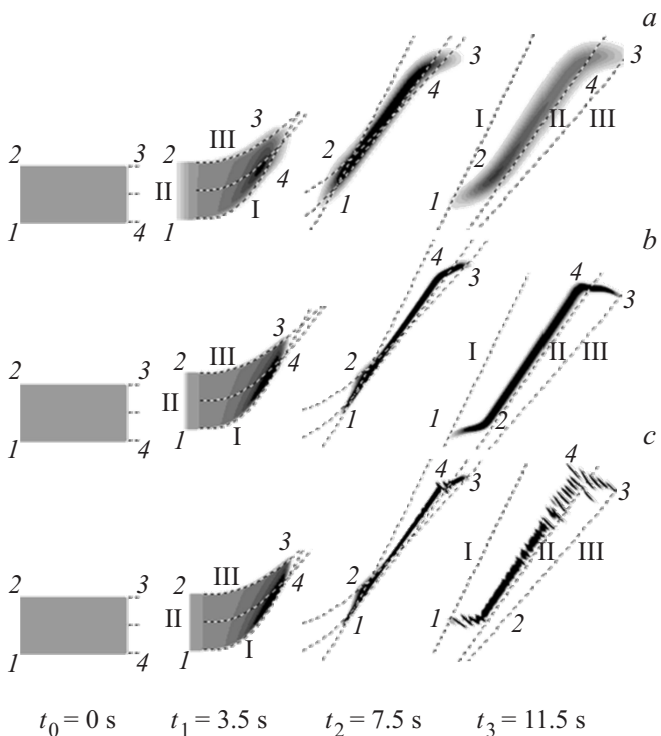


Рис. 5. Положения пылевого облака в последовательные моменты времени.

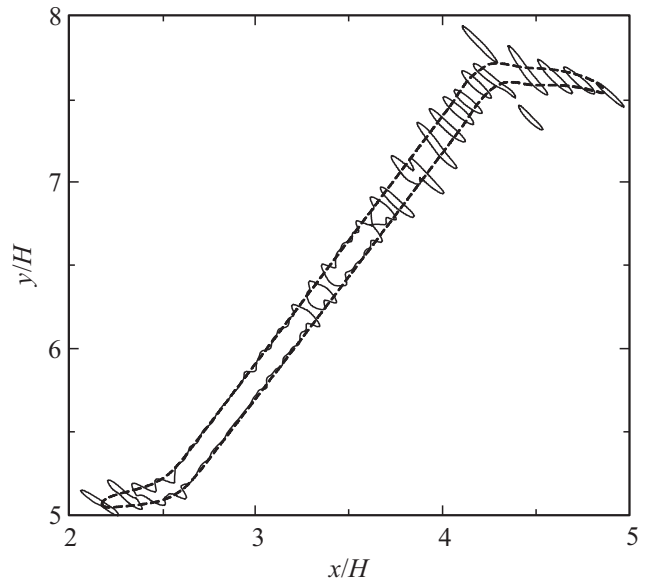


Рис. 6. Сравнение линий равной относительной плотности для схем: пунктирные линии — MINMOD и сплошные линии — MUSCL.

сти ABC наблюдается последовательность бифуркаций, которые развиваются в головной, затем в хвостовой части облака и распространяются внутрь 2–4 потока. Облако фрагментируется на отдельные полосы, которые растягиваются в направлении поперек потока. Траектории фрагментов облака лежат внутри „коридора“, ограниченного линиями I и III. При этом не отмечается периодической структуры (странный аттрактор). Вместе с тем средние характеристики движения дисперсного образования близки к характеристикам регулярного (детерминированного) решения (рис. 6). Здесь приведены линии равной относительной плотности $\bar{\rho}_p = 2$ в момент времени $t_3 = 11.5$ s: сплошные кривые — схема MUSCL; штриховые линии — схема MINMOD.

В рассматриваемом явлении можно выделить два механизма, определяющих эволюцию пылевого облака. Инерционный механизм способствует развитию неустойчивости, при котором близлежащие к источнику молекулярного потока элементарные объемы дисперсной среды за счет более интенсивного межфазного трения стремятся пересечь верхние слои пылевого облака. В области ABC траектории лагранжевых частиц пылевого облака пересекаются. Второй механизм — это вязкая диссипация с малым параметром схемной вязкости, которая стабилизирует течение. Численные сценарии являются регуляризованными решениями, при этом масштаб ячейки и связанная с ним схемная вязкость является параметром регуляризации и устойчивости. Физическим механизмом, стабилизирующим течение, является столкновительный хаотический характер движения дисперсных частиц. Эффекты броуновской диффузии, межгранулярного давления и сдвиговых напряжений становятся существенными для достаточно мелких ($r_p \sim 1 \mu\text{m}$ и меньшего размера) частиц.

Заключение

Таким образом, в рамках численного эксперимента рассмотрена эволюция пылевого облака в поле свободномолекулярного потока в невесомости. Течение частиц облака качественно и количественно отличается от движения ансамбля изолированных частиц. В зависимости от дисбаланса инерционного и диссипативного механизмов явления наблюдается регулярное течение или развитие неустойчивости в области, ограниченной крайними траекториями изолированных частиц.

Список литературы

- [1] *Blum J., Lévassieur-Regourd A.-C., Muñoz O., Slobodrian R.J., Vedernikov A.* // EuroPhys. News, 2008. Vol. 39. N 3. P. 27–29.
- [2] *Ведерников А.А.* Тез. докл. Междун. конф. „Современные проблемы газовой и волновой динамики“. М.: МГУ, 2009. С. 27–28.
- [3] *Садин Д.В., Алексашов В.Ю., Алексеев К.В., Варварский В.М., Лебедев Е.Л.* // ПМТФ. 2012. Т. 53. № 6. С. 41–48.
- [4] *Садин Д.В., Алексашов В.Ю., Варварский В.М., Добролюбов А.Н.* // Письма в ЖТФ. 2014. Т. 40. Вып. 16. С. 15–21.
- [5] *Нигматулин Р.И.* Основы механики гетерогенных сред. М.: Наука, 1978. 336 с.
- [6] *Садин Д.В.* // ЖВМиМФ. 1998. Т. 38. № 9. С. 1572–1577.
- [7] *Садин Д.В.* // ЖВМиМФ. 1998. Т. 38. № 6. С. 1033–1039.
- [8] *Fringer O.-B., Armfield S.W., Street R.L.* // Int. J. Numer. Meth. Fluids. 2005. Vol. 49. P. 301–329.
- [9] *Садин Д.В.* // Физико-химическая кинетика в газовой динамике. 2014. Т. 15. Вып. 4 (10). С. 1–17.
- [10] *Терлецкий Я.П.* Статистическая физика. М.: Высшая школа, 1994. 350 с.
- [11] *Millikan R.A.* // Phys. Rev. 1923. Vol. 22. N 1. P. 1–23.
- [12] *Cercignani C.* Theory and Application of the Boltzman Equation. Edinbugh and London: Scottish Academic Press, 1975. 415 p.
- [13] *Рудяк В.Я., Краснолуцкий С.Л.* // ЖТФ. 2002. Т. 72. Вып. 7. С. 13–20.